

ВЫСОКАЯ ПОДВИЖНОСТЬ НОСИТЕЛЕЙ В ГЕТЕРОСТРУКТУРАХ $p\text{-GaInAsSb}/p\text{-InAs}$

© Т.И.Воронина, Т.С.Лагунова, М.П.Михайлова,
К.Д.Моисеев, Ю.П.Яковлев

Физико-технический институт им. А.Ф.Иоффе Российской академии наук,
194021 Санкт-Петербург, Россия

(Получена 17 мая 1995 г. Принята к печати 31 мая 1995 г.)

Приведены сравнительные исследования гальваномагнитных свойств твердых растворов $\text{Ga}_{1-x}\text{In}_x\text{As}_y\text{Sb}_{1-y}$, обогащенных GaSb ($x = 0.15-0.22$), выращенных изопериодными с подложками GaSb и InAs методом жидкокристаллической эпитаксии. В гетероструктурах с нелегированными слоями GaInAsSb, выращенных на подложке $p\text{-InAs}$, получено высокое значение холловской подвижности $u_H = 50000-65000 \text{ см}^2/\text{В}\cdot\text{с}$ при $T = 77 \text{ K}$, тогда как для аналогичных слоев того же состава, выращенных на подложке $p\text{-GaSb}$, максимальная подвижность достигала $u_H = 2600 \text{ см}^2/\text{В}\cdot\text{с}$. Наблюдаемый эффект высокой подвижности объясняется наличием электронного канала на гетерогранице в разъединенном гетеропереходе II типа $p\text{-GaInAsSb}/p\text{-InAs}$.

Твердые растворы в системе Ga-In-As-Sb могут быть выращены изопериодными к подложкам GaSb и InAs методом жидкокристаллической эпитаксии (ЖФЭ) [1,2]. Изменяя состав твердой фазы эпитаксиального слоя, можно менять ширину запрещенной зоны твердых растворов и создавать на их основе светодиоды, в лазеры и фотоприемники, работающие в диапазоне длин волн 2–3 мкм [3–5]. В работе [6] было показано, что широкозонные твердые растворы GaInAsSb с шириной запрещенной зоны $E_g \sim 0.5-0.6 \text{ эВ}$, выращенные на подложке GaSb, образуют ступенчатые гетеропереходы II типа. В то же время твердые растворы GaInAsSb того же состава, выращенные на подложке InAs, образуют разъединенные гетеропереходы II типа [7]. Отличительной чертой гетеропереходов II типа является пространственное разделение электронов и дырок на гетерогранице. В разъединенном гетеропереходе II типа валентная зона широкозонного полупроводника, GaInAsSb, лежит по энергии выше зоны проводимости узкозонного, InAs. Это приводит к тому, что в равновесии электроны из валентной зоны GaInAsSb перетекают в зону проводимости InAs. В таком гетеропереходе вблизи гетерограницы существуют электронный и дырочный каналы. Различие в характеристиках ступенчатых и разъединенных гетеропереходов II типа ведет к существенному отличию электрофизических и

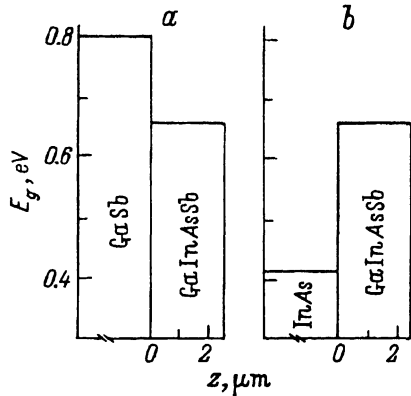


Рис. 1. Послойные профили ширины запрещенных зон исследуемых структур, выращенных на подложках: а) — GaSb, б) — InAs. $T = 77$ К

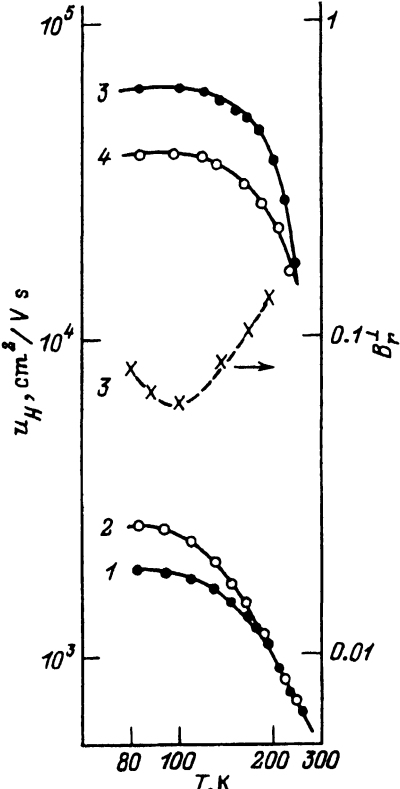


Рис. 2. Зависимости холловской подвижности (u_H) и коэффициента магнитосопротивления (B_r , штриховая кривая) от температуры для твердых растворов GaInAsSb, выращенных на подложках GaSb (1, 2) и InAs (3, 4). Нумерация кривых соответствует нумерации образцов в таблице.

транспортных свойств носителей тока в гетероструктурах, полученных на их основе [8]. Это обстоятельство необходимо учитывать также при создании оптоэлектронных приборов на основе твердых растворов GaInAsSb.

В данной работе приведены сравнительные результаты исследований гальваномагнитных свойств двух типов гетероструктур на основе нелегированных твердых растворов $\text{Ga}_{1-x}\text{In}_x\text{As}_y\text{Sb}_{1-y}$, обогащенных GaSb и выращенных на подложках p -GaSb и p -InAs. Были измерены коэффициент Холла R_H , электропроводность σ , подвижность носителей $u_H = R_H \sigma$ и относительное магнитосопротивление $\Delta\rho/\rho$ в интервале температур 77–300 К в магнитных полях до 12 кЭ.

Эпитаксиальные слои твердых растворов $\text{Ga}_{1-x}\text{In}_x\text{As}_y\text{Sb}_{1-y}$ в интервале составов $0.15 < x < 0.22$ и $0.13 < y < 0.26$ были получены методом ЖФЭ при $T = 873$ К на подложках InAs(100) и GaSb(100). Для приготовления расплавов использовались галлий, индий и сурьма чистотой 99.9999%, а также нелегированные арсенид и антимонид индия и антимонид галлия. Приготовленные расплавы предварительно не легировались. Толщины эпитаксиальных слоев лежали в интервале 2–5 мкм. Рассогласование выращенных слоев с подложкой составляло: для InAs — $\Delta a/a < \pm 2 \cdot 10^{-4}$, для GaSb $\Delta a/a < 5 \cdot 10^{-4}$ ($T = 300$ К). Послойные профили ширины запрещенных зон исследуемых структур приведены на рис. 1.

Образцы для проведения гальваномагнитных исследований выбрались из структур в форме прямоугольника без удаления подложки.

На эпитаксиальный слой наносили 6 индиевых контактов. Для того чтобы исследовать гальваниомагнитные свойства данных твердых растворов, необходимо было исключить влияние подложки на измеряемые величины. С целью изоляции эпитаксиального слоя от подложки мы использовали высокомольные подложки как GaSb, так и InAs с концентрацией носителей на 2 порядка ниже, чем концентрация носителей в наращиваемых слоях твердых растворов $Ga_{1-x}In_xAs_ySb_{1-y}$.

В случае гетероструктур $GaInAsSb/GaSb$ в качестве подложки использовался полуизолирующий эпитаксиальный слой $p\text{-GaSb}$, выращенный в присутствии нейтрального растворителя Pb, в котором концентрация дырок составляла $p_{77K} \sim 10^{14} \text{ см}^{-3}$, а удельная проводимость $\sigma_{77K} < 0.01 \Omega^{-1} \cdot \text{см}^{-1}$ [9]. В случае гетероструктур $GaInAsSb/InAs$ в качестве подложки был взят сильно компенсированный $p\text{-InAs}$ ($p_{77K} = 10^{15} \text{ см}^{-3}$, $\sigma_{77K} = 0.1 \Omega^{-1} \cdot \text{см}^{-1}$). Эта подложка так же, как в случае $p\text{-GaSb}$, была полуизолирующей, однако лишь в интервале температур $T = 77\text{--}200$ К. Выше 200 К в InAs при малой концентрации носителей и сильной компенсации примесей начинала проявляться собственная проводимость и измерения параметров R_H , σ и u_H искажались влиянием подложки.

В интервале температур 77–200 К в магнитных полях до 12 кЭ при токах $I = 50\text{--}100$ мА, когда выполняется закон Ома, измерялись ЭДС Холла V_H и напряжение на потенциальных зондах V_0 в зависимости от магнитного поля. Величина холловской подвижности рассчитывалась из данных V_H и V_σ по формуле

$$u_H = \frac{V_H}{V_\sigma} \frac{\Delta l}{dH}, \quad (1)$$

где Δl — расстояние между зондами V_σ , d — ширина образца, H — напряженность магнитного поля. Магнитосопротивление рассчитывалось по формуле

$$\Delta\rho/\rho = \frac{V_{\sigma H} - V_{\sigma 0}}{V_{\sigma 0}}. \quad (2)$$

Тип носителей тока определялся по знаку ЭДС Холла и по знаку термоэдс, измеренной непосредственно на поверхности слоя твердого раствора с помощью тонкого термозонда. Результаты измерений четырех исследуемых типичных образцов даны в таблице. Из таблицы видно существенное различие в свойствах образцов, выращенных на подложках GaSb (образцы 1 и 2) и InAs (образцы 3 и 4). Прежде всего, для нелегированных слоев твердых растворов $GaInAsSb$, изопериодных с GaSb, знаки ЭДС Холла и термоэдс указывали на дырочный тип проводимости, а для нелегированных слоев твердых растворов такого же состава, но изопериодных с InAs, знак ЭДС Холла соответствовал электронному типу проводимости. В то же время знак носителей тока по термоэдс на поверхности структуры указывал на дырочный тип проводимости в эпитаксиальном слое.

Величина холловской подвижности, рассчитанная по формуле (1), для гетероструктур $GaInAsSb/GaSb$ составляла $2000\text{--}2600 \text{ см}^2/\text{В} \cdot \text{с}$ при $T = 77$ К и соответствовала дырочному типу проводимости, тогда как в гетероструктурах $GaInAsSb/InAs$ достигала высоких значений

Номер образца	Состав		Тип проводимости		$\sigma, \text{Ом}^{-1} \cdot \text{см}^{-1}$
	x	y	термоэдс	Холл	
1	0.16	0.14	p	p	1.9
2	0.22	0.19	p	p	2.8
3	0.17	0.22	p	n	70
4	0.20	0.24	p	n	54

Таблица (продолжение).

Номер образца	$R, \text{см}^3/\text{Кл}$	$u, \text{см}^2/\text{В} \cdot \text{с}$	B_r	Концентрация, см^{-3}	Подложка
1	1200	1950	1.1	$6.0 \cdot 10^{15}$	GaSb:Pb
2	1000	2600	1.2	$6.2 \cdot 10^{15}$	"
3	900	65000	0.06	-	InAs:Zn
4	700	38000	0.3	-	"

($u_H = 40000 - 65000 \text{ см}^2/\text{В} \cdot \text{с}$ при $T = 77$ К) даже в образцах с дополнительным легированием, что скорее указывало на электронный тип проводимости. Температурные зависимости подвижности для образцов GaInAsSb/GaSb(InAs), представленные на рис. 2, позволяют считать, что основными механизмами рассеяния носителей тока в обоих случаях являются рассеяния на ионах примесей и колебаниях решетки.

На рис. 3 представлены температурные зависимости коэффициента Холла R_H для твердых растворов GaInAsSb, выращенных на подложках GaSb и InAs. Как видно из рисунка, кривые температурной зависимости коэффициента Холла для эпитаксиальных слоев, изопериодных с GaSb, имеют три экспоненциальных наклона, соответствующих энергиям активации: $E_{A1} = 0.01$ эВ (мелкие неконтролируемые примеси), а также $E_{A2} = 0.035$ эВ и $E_{A3} = 0.07$ эВ, которые связаны с двухзарядным акцепторным центром структурного дефекта типа вакансия Ga и Ga на месте Sb-($V_{\text{Ga}}\text{GaSb}$)⁺⁺. Такой ход коэффициента Холла ранее наблюдался в p -GaSb [9].

Однако для эпитаксиальных слоев, изопериодных с InAs, наблюдается совершенно иная температурная зависимость R_H . Как видно из рис. 3 (кривые 3 и 4), коэффициент Холла, рассчитанный на толщину эпитаксиального слоя, слабо зависит от температуры в интервале $T = 77 - 200$ К и имеет один наклон, соответствующий энергии активации $E_D = 0.004$ эВ, которая может быть приписана только мелким донорным уровням. Электропроводность σ , рассчитанная на толщину эпитаксиального слоя, в этих образцах была на порядок выше, чем в слоях твердых растворов GaInAsSb такого же состава, выращенных на GaSb (см. таблицу).

Совокупность этих данных может свидетельствовать о наличии электронного канала с высокой подвижностью носителей тока на гетерогранице p -GaInAsSb/ p -InAs и его участии в проводимости и других эффектах. На существование электронного канала на гетерогранице

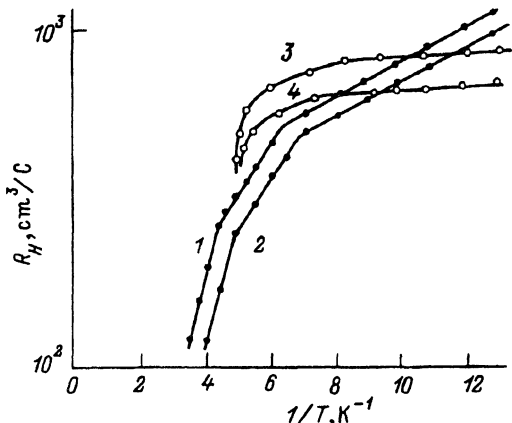
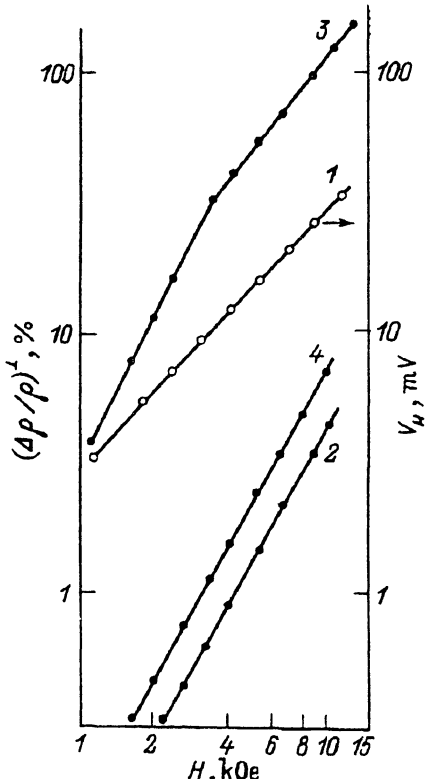


Рис. 3. Зависимость коэффициента Холла (R_H) от температуры образцах: GaInAsSb/GaSb (1, 2) и GaInAsSb/InAs (3, 4). Нумерация кривых соответствует нумерации образцов в таблице.

Рис. 4. Зависимость эдс Холла (V_H) (1) и поперечного магнитосопротивления ($\Delta\rho/\rho$)^{1/2} от напряженности магнитного поля при различной ориентации поля относительно гетерограницы (2, 3 — $H \parallel n$; 4 — $H \perp n$) для GaInAsSb/GaSb (2) и GaInAsSb/InAs (1, 3, 4). $T = 77$ К.



в изотипной $p-p$ -гетероструктуре GaIn_{0.17}AsSb/InAs указывает также недавнее наблюдение интенсивной интерфейсной электролюминесценции в такой гетероструктуре [10]. Действительно, если предположить, что параметры σ , R_H и u_H слоя твердого раствора, выращенного на InAs, должны быть аналогичны параметрам четвертого раствора, выращенного на GaSb, то по формуле для двухслойной модели можно определить подвижность в канале, u_H , зная параметры (u_0, b_0, σ_0) всей структуры, выращенной на p -InAs:

$$u_H = \frac{u_0 - u_1 \frac{\sigma_1 b_1}{\sigma_0 b_0}}{1 - \frac{\sigma_1 b_1}{\sigma_0 b_0}}, \quad (3)$$

где u_1 , σ_1 и b_1 — данные для эпитаксиальных слоев аналогичного твердого раствора, выращенных на подложке GaSb (образцы 1, 2 в таблице). Так как толщина эпитаксиального слоя b_1 всегда гораздо больше ширины переходной области на гетерогранице, можно считать, что $b_1 = b_0$. Вычисленная величина холловской подвижности u_H для всех образцов твердых растворов, выращенных на p -InAs, получается практически равной экспериментально измеренной подвижности u_0 . Таким образом, участие электронного канала на гетерогранице в подвижности гетероструктуры GaInAsSb/InAs является определяющим. Это подтверждено и полевыми зависимостями V_H и $\Delta\rho/\rho$.

На рис. 4 (кривая 1) представлена зависимость ЭДС Холла (V_H) от напряженности магнитного поля H для структур, выращенных на подложке InAs. Как видно из рисунка, наблюдается обычный пропорциональный рост V_H с полем, что свидетельствует о том, что в проводимости участвует один тип и один сорт носителей тока.

Зависимость поперечного магнитосопротивления $(\Delta\rho/\rho)^\perp$, вычисленного по формуле (2), от напряженности магнитного поля H представлена на рис. 4 (кривые 2-4). Как видно из рисунка, для образцов GaInAsSb/GaSb (кривая 2) $(\Delta\rho/\rho)^\perp$ изменяется пропорционально H^2 до 12 кЭ. Коэффициент магнитосопротивления

$$B_r = \frac{(\Delta\rho/\rho)^\perp}{(u_H \cdot H/c)^2} \approx 1, \quad (4)$$

что согласуется со значениями B_r для образцов p -типа, рассчитанными с учетом рассеяния на ионах примеси и решетки при участии легких и тяжелых дырок. В структурах GaInAsSb/InAs зависимость $(\Delta\rho/\rho)^\perp$ от напряженности магнитного поля (кривая 3) пропорциональна квадрату напряженности магнитного поля в интервале значений H до 3 кЭ, пока выполняется условие слабого поля ($u_H \cdot H/c < 1$). При более высоких полях рост $(\Delta\rho/\rho)^\perp$ с полем замедляется. Коэффициент магнитосопротивления R_r , рассчитанный из квадратичной зависимости, во всех случаях был меньше 0.3 (см. таблицу), что соответствует расчетной величине для рассеяния электронов на ионах примеси и колебаниях решетки и согласуется с температурной зависимостью подвижности в интервале 77-200 К (рис. 2). Это также подтверждает участие в проводимости одного сорта носителей тока n -типа и отсутствие неоднородных скоплений примесей и дефектов [11].

При вращении образца в магнитном поле вокруг линий тока была обнаружена анизотропия поперечного магнитосопротивления в структурах GaInAsSb/InAs: $(\Delta\rho/\rho)^\perp$ было максимально, когда $\mathbf{H} \parallel \mathbf{n}$ (\mathbf{n} — нормаль к слою) (рис. 4, кривая 3), а при $\mathbf{H} \perp \mathbf{n}$ величина $(\Delta\rho/\rho)^\perp$ на порядок уменьшается, при этом сохраняется квадратичная зависимость от магнитного поля вплоть до 12 кЭ (рис. 4, кривая 4). Для однородных объемных структур при вращении образца в магнитном поле вокруг линий тока поперечное магнитосопротивление должно оставаться постоянным. Наблюдаемая анизотропия характерна для размерных эффектов, когда длина свободного пробега электрона становится больше размеров исследуемого объекта. Длину свободного пробега (l) можно оценить из подвижности

$$l = \frac{um_e^*v}{e}, \quad (5)$$

где v — тепловая скорость, m_e^* — эффективная масса, e — заряд электрона. Если предположить, что электронный канал расположен в InAs ($m_e^* = 0.025m_0$), то в образцах с подвижностью $u = 50000 \text{ см}^2/\text{В} \cdot \text{с}$ при $T = 77 \text{ К}$ длина свободного пробега должна быть порядка $l \sim 600 \text{ \AA}$. Следовательно, наблюдаемый эффект анизотропии поперечного магнитосопротивления может быть связан с существованием двумерного

или квазидвумерного слоя с высокой подвижностью носителей заряда на гетерогранице в разъединенной изотипной *p*-*p*-гетероструктуре GaInAsSb/InAs.

Таким образом, получено высокое значение подвижности носителей ($u_H = 65000 \text{ см}/(\text{В} \cdot \text{с})$) в системе $\text{Ga}_{1-x}\text{In}_x\text{As}_y\text{Sb}_{1-y}/\text{InAs}$ на основе широкозонных твердых растворов ($x = 0.17$, $y = 0.22$), которое обусловлено существованием электронного канала на гетерогранице между эпитаксиальным слоем и подложкой InAs, а также достаточно совершенной гетерограницей, полученной при выращивании эпитаксиальных слоев с малым количеством дефектов на подложке InAs.

Работа частично поддержана грантом № R46300 Международного научного фонда и Российского правительства.

Список литературы

- [1] А.Э. Бочкарев, В.Н. Гульгазов, Л.М. Долгинов, А.А. Семин. Изв. АН СССР. Неорг. матер., **23**, 1610 (1987).
- [2] R. Sankaran, G.A. Antypas. J. Cryst. Growth. **36**, 198 (1976).
- [3] Yu.P. Yakovlev, A.N. Baranov, A.N. Imenkov, M.P. Mikhailova. SPIE, 1510, 120 (1991).
- [4] Yu.P. Yakovlev, A.N. Baranov, A.N. Imenkov, A.A. Popov, V.V. Sherstnev. J. de Phys. IV Suppl. C4; J. de Phys. III, **4**, C4 (1994).
- [5] И.А. Андреев, М.А. Афраилов, В.Г. Данильченко, М.А. Мирсагатов, М.П. Михайлова, Ю.П. Яковлев. Письма ЖТФ, **12**, 1311 (1986).
- [6] A.N. Baranov, A.N. Imenkov, M.P. Mikhailova, A.A. Rogachev, Yu.P. Yakovlev. Superlat. and Microstruct., **8**, 375 (1990).
- [7] М.П. Михайлова, И.А. Андреев, Т.И. Воронина, Т.С. Лагунова, К.Д. Моисеев, Ю.П. Яковлев. ФТП, **29**, 678 (1995).
- [8] M.P. Mikhailova, A.N. Titkov. Semicond. Sci. Technol., **9**, 1279 (1994).
- [9] А.Н. Баранов, Т.И. Воронина, Т.С. Лагунова, И.Н. Тимченко, З.И. Чугуева, В.В. Шерстнев, Ю.П. Яковлев. ФТП, **23**, 780 (1989).
- [10] М.П. Михайлова, Г.Г. Зегря, К.Д. Моисеев, И.Н. Тимченко, Ю.П. Яковлев. ФТП, **29**, 687 (1995).
- [11] А.Н. Баранов, Т.И. Воронина, А.Н. Дахно, Б.Е. Джуртанов, Т.С. Лагунова, М.А. Сиповская, Ю.П. Яковлев. ФТП, **24**, 1072 (1990).

Редактор В.В. Чалдышев

High electron mobility in isotype *p*-GaInAsSb/*p*-InAs heterostructures

T.I. Voronina, T.S. Lagunova, M.P. Mikhailova, K.D. Moiseev, Yu.P. Yakovlev

A.F. Ioffe Physicotechnical Institute, Russian Academy of Sciences,
194021 St. Petersburg, Russia

We present a comparative study of galvanomagnetic properties of $\text{Ga}_{1-x}\text{In}_x\text{As}_y\text{Sb}_{1-y}$ GaSb-enriched solid solutions grown lattice-matched on GaSb and InAs substrates. A high value of Hall mobility ($u_H = 50000 - 65000 \text{ cm}^2/\text{V} \cdot \text{s}$ at $T = 77 \text{ K}$) was obtained in structures with undoped and slightly doped quaternary layers grown on *p*-InAs while the mobility value only $u_H = 2600 \text{ cm}^2/\text{V} \cdot \text{s}$ was obtained in the structures with GaInAsSb layers of the same composition grown on *p*-GaSb substrates. Effect of high mobility was explained by existence of a strong electron channel at the interface of the type II broken-gap *p*-GaInAsSb/*p*-InAs single heterojunction.